

## РАСПРОСТРАНЕНИЕ ОПТИЧЕСКИХ ВОЛН

УДК 551.593.13:621.396.96

# Спектры мерцаний, формируемых неоднородностями с переменной анизотропией

О.В. Федорова\*

Институт физики атмосферы им. А.М. Обухова РАН  
119017, г. Москва, Пыжевский пер., 3

Поступила в редакцию 8.07.2011 г.

Проведены расчеты спектров мерцаний звезд, наблюдаемых сквозь атмосферу Земли на космических аппаратах. Рассмотрены три различные модели 3D-спектра неоднородностей, формирующих мерцания: изотропные, анизотропные и неоднородности с переменной анизотропией. Вычислены 2D- и 1D-спектры мерцаний для фазового экрана в приближении слабых мерцаний. Показано, что одномерные спектры для разных моделей неоднородностей могут быть близки друг к другу. Учет переменной анизотропии не меняет радикально характер спектров по сравнению с моделью неоднородностей с постоянной анизотропией.

**Ключевые слова:** зондирование атмосферы из космоса, турбулентность, анизотропные и изотропные неоднородности, переменная анизотропия, спектры слабых мерцаний; sounding of atmosphere from space, turbulence, anisotropic and isotropic irregularities, variable anisotropy, weak scintillation spectra.

### Введение

Атмосфера содержит неоднородности плотности различных типов, влияющие на общую циркуляцию и определяющие статистические свойства световых и акустических волн, распространяющихся сквозь атмосферу. Исследование неоднородностей в верхней тропосфере и нижней стратосфере имеет важное практическое значение, связанное с безопасностью полетов воздушной техники [1]. Одним из способов изучения неоднородностей является активно развивающийся в последние десятилетия метод наблюдения со спутников сквозь атмосферу мерцаний излучения звезд либо источников, находящихся на борту космических аппаратов, в оптическом или радиодиапазонах. Как показали эти исследования, в устойчиво-стратифицированных слоях атмосферы неоднородности вытянуты в горизонтальном направлении [2, 3]. Свойства трехмерных неоднородностей характеризуются их 3D-спектром, который определяет вид 2D- и 1D-спектров формируемых мерцаний. Поскольку 2D-спектры мерцаний измерять трудно, в эксперименте, как правило, измеряются 1D-спектры.

В настоящей статье рассматриваются спектры мерцаний, порождаемые тремя различными типами неоднородностей. Первый тип – изотропные неоднородности. Формируемые ими спектры мерцаний исследуются давно [4], и мы приводим их только для сравнения. Второй – анизотропные неоднородности, которые рассматривались в работах по сильным мерцаниям [5–7]. Третий из рассматриваемых здесь 3D-спектров вначале был предложен И.П. Чунчуковым в [8], где была развита теория, показавшая

возможность возникновения сильно анизотропных неоднородностей температуры и скорости ветра в нелинейном поле случайных внутренних волн в устойчиво-стратифицированной атмосфере. Затем этот спектр был модифицирован в [9, 10], где было учтено плавное уменьшение анизотропии неоднородностей при уменьшении их вертикального масштаба. Спектры мерцаний, формируемые неоднородностями с переменной анизотропией, до сих пор не исследовались. Здесь они вычисляются и сравниваются со спектрами, формируемыми изотропными и анизотропными неоднородностями.

### 1. Уравнения для трех вариантов 3D-спектра

Будем рассматривать 3D-спектры относительных флуктуаций  $N$  – показателя преломления:  $v = -\langle N \rangle / \langle N \rangle$ . Для изотропных неоднородностей использовался спектр Колмогорова–Обухова–Корзина [4] с внутренним и внешним масштабами:

$$\Phi_1(k) = C_v^2 (K^2 + \kappa^*)^{-\frac{11}{6}} \exp\left(-\frac{K^2}{\kappa_m^2}\right), \quad K^2 = k_\perp^2 + k_z^2, \quad (1)$$

где  $k_z$  – вертикальное волновое число;  $k_\perp$  – волновое число в горизонтальной плоскости:  $k_\perp^2 = k_x^2 + k_y^2$ . Структурная характеристика  $C_v^2$  задает «мощность» изотропных неоднородностей,  $\kappa^*$ ,  $\kappa_m$  определяют соответственно внешний  $2\pi/\kappa^*$  и внутренний  $2\pi/\kappa_m$  масштабы.

Для анизотропных неоднородностей, аналогично [5–7], использовалась следующая модель 3D-спектра:

\* Ольга Владимировна Федорова (ovfedorova@mail.ru).

$$\Phi_{2v}(\mathbf{k}) = C_2 \eta^2 (K_{an}^2 + \kappa_*^2)^{-5/2} \exp\left(-\frac{K^2}{\kappa_w^2}\right),$$

$$K_{an}^2 = \eta^2 k_\perp^2 + k_z^2, \quad (2)$$

где  $\eta$  – коэффициент анизотропии. В экспоненту в (2) вертикальное и горизонтальное волновые числа входят одинаковым образом, так как внутренний масштаб  $\kappa_w$  связан с молекулярной вязкостью. При  $\kappa_* \ll \kappa_w$  спектр (2) имеет достаточно протяженный интервал  $\kappa_* \ll K_{an} \ll \kappa_w$ , внутри которого приближенно выполняется степенная зависимость  $\Phi_{2v} \sim \eta^2 K_{an}^{-5}$ . Этот спектр переходит в изотропный при масштабировании по оси  $Z$ .

3D-спектр относительных флуктуаций показателя преломления, основанный на предложенном в [9, 10] 3D-спектре относительных флуктуаций температуры, имеет вид

$$\Phi_{3v}(\mathbf{k}) = \frac{C_3 T_0^2 \omega_{BV}^4 \eta^2(k_z)}{2g^2 |k_z|^5} \exp\left[-\frac{k_\perp^2 \eta^2(k_z)}{2k_z^2}\right] \times$$

$$\times R\left(\frac{k_z}{\kappa_*}\right) \exp\left[-\frac{k_z^2 + k_\perp^2}{\kappa_w^2}\right]. \quad (3)$$

Здесь  $T_0$  – температура невозмущенной среды на данной высоте;  $\omega_{BV}$  – частота Брента–Ваясяля;  $g$  – ускорение силы тяжести. Уравнение (3) так же, как и (1) и (2), включает два характерных масштаба. Вблизи внутреннего масштаба  $\kappa_w$  происходит сток энергии в турбулентность из-за процессов обрушения волн. Кроме того, в (3) неявно присутствует третий характерный масштаб  $\kappa_M$ . Он появляется в уравнении, характеризующем зависимость коэффициента анизотропии от вертикального волнового числа:

$$\eta(k_z) = \eta_0 \left[ 1 + \frac{\kappa_w^2}{\kappa_M^2 + k_z^2} \right]. \quad (4)$$

В (4) предполагается, что большая анизотропия крупномасштабных неоднородностей начинает существенно меняться при возрастании  $k_z$  до некоторого  $\kappa_M > \kappa_*$ . При дальнейшем возрастании  $k_z$  коэффициент анизотропии начинает убывать очень медленно, выходя на некоторое постоянное значение, равное  $\eta_0 > 1$ . Такая формула обеспечивает для горизонтального спектра относительных флуктуаций температуры пропорциональность волновому числу в степени  $-5/3$  [10]. Наконец,  $R(k_z/\kappa_*) = |k_z/\kappa_*|^5 / (1 + |k_z/\kappa_*|^5)$  – регуляризирующая функция, включение которой в (3) необходимо для того, чтобы существовала дисперсия  $v$ .

## 2. Двумерные и одномерные спектры мерцаний

Спектры относительных флуктуаций интенсивности излучения рассчитывались для используемой в [5–7, 11, 12] модели фазового экрана в прибли-

жении слабых мерцаний. Двумерный спектр в плоскости наблюдения следующим образом связан с 3D-спектром неоднородностей [13]:

$$F_I^{(1)}(k_z, k_y) = C \Phi_v(0, k_y, k_z) \sin^2 \left[ \frac{L(k_z^2 + k_y^2)}{2k_0} \right], \quad (5)$$

где  $L$  – расстояние от фазового экрана до плоскости наблюдения;  $k_0 = 2\pi/\lambda$ ,  $\lambda$  – длина волны. Параметр  $C$  здесь нас интересовать не будет, так как все вычисленные спектры будут нормироваться на дисперсию мерцаний  $\beta_0^2$ , пропорциональную  $C$ :

$$\beta_0^2 = \int_{-\infty}^{\infty} \int_{-\infty}^{\infty} F_I^{(1)}(k_z, k_y) dk_z dk_y. \quad (6)$$

При расчетах использовались следующие значения параметров:  $L = 3000$  км,  $\lambda = 500$  нм,  $\kappa_m = 1$  рад/м,  $\kappa_w = 1$  рад/м,  $\kappa_* = 0,005$  рад/м, коэффициент анизотропии для (2) принят равным 10, так как для такого значения слабо сказывается влияние сферичности, которая здесь не учитывается. Для модели (3) максимальное значение коэффициента анизотропии  $\eta_{max}$ , соответствующее  $k_z = 0$ , также принималось равным 10, откуда  $\kappa_M = 0,5$  рад/м. Для принятых значений  $L$  и  $\lambda$  радиус Френеля  $R_F$  равен 0,489 м, поэтому безразмерные величины масштабов составляют  $\kappa_m R_F = \kappa_w R_F = 0,489$ ,  $\kappa_* R_F = 0,00244$ .

Принятые значения параметров являются модельными, но расчеты, проведенные для других значений масштабов, показывают, что основные полученные закономерности сохраняются. Далее все результаты представлены в безразмерных координатах.

Спектр, формируемый изотропными неоднородностями (1), является функцией одной переменной, но в моделях (2) и (3) присутствует анизотропия, поэтому соответствующие им 2D-спектры необходимы изображать на двумерном графике (рис. 1).

Так же, как в [12], спектральная плотность умножена на оба волновых числа и, кроме того, нормирована на  $\beta_0^2$ . 2D-спектр для (1) симметричен. Максимумы спектров для (2) и (3) сдвинуты влево относительно (1) на порядок и более из-за присутствия анизотропии. Друг от друга спектры для (2) и (3) отличаются, главным образом, в области максимума. Для (3) эта область смещена вправо и вытянута по сравнению с областью для (2). Кроме того, правый конец спектра (3) сжат по вертикали.

Одномерные спектры получаются интегрированием двумерного спектра. 1D-спектр, измеренный вдоль прямой, наклоненной под углом  $\alpha$  к вертикали, вычисляется следующим образом:

$$V_I^{(1)}(k, \alpha) = \int_{-\infty}^{\infty} F_I^{(1)}(k \cos \alpha - k' \sin \alpha, k \sin \alpha + k' \cos \alpha) dk',$$

где  $k$  – волновое число вдоль этой прямой. При  $\alpha = 0$  измеряется вертикальный спектр, интегрирование производится по горизонтальной прямой. Угол  $\alpha = 90^\circ$  соответствует горизонтальному спектру, интегрирование идет по вертикальной прямой. В случае про-

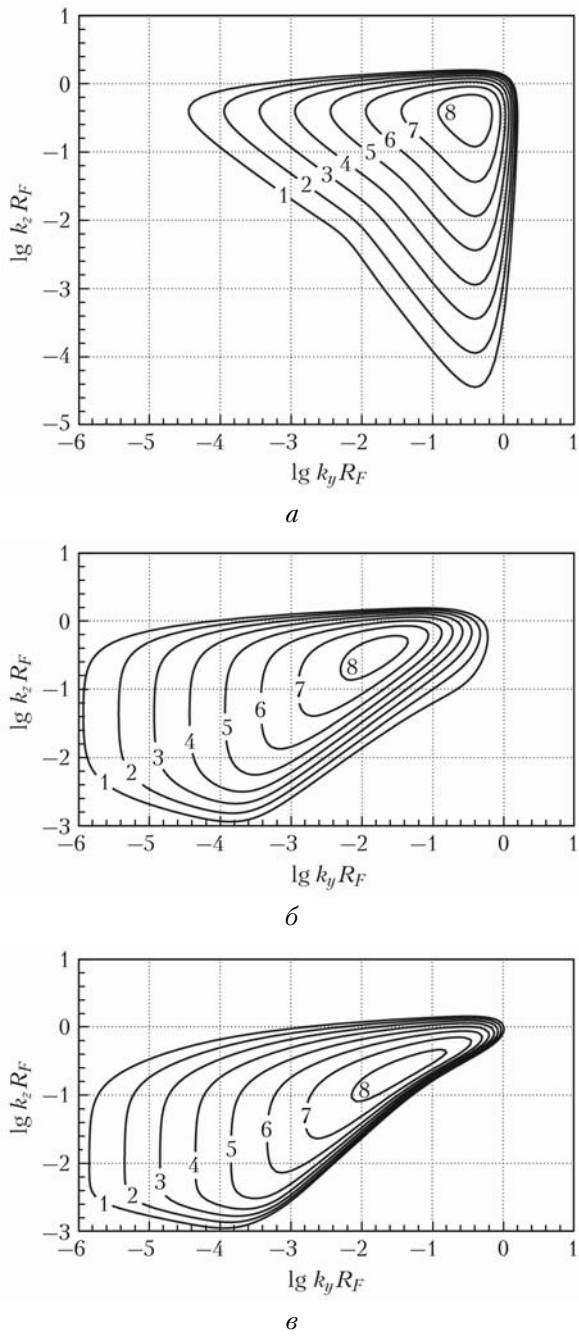


Рис. 1. 2D-спектры мерцаний: *а* – для модели (1); *б* – для модели (2); *в* – для модели (3). Приведены линии уровней величины  $\lg \left[ k_z k_y F_I^{(1)}(k_z, k_y) \right] / \beta_0^2$ . Цифры на линиях соответствуют следующим значениям: 1 –  $-5$ ; 2 –  $-4,5$ ; 3 –  $-4$ ; 4 –  $-3,5$ ; 5 –  $-3$ ; 6 –  $-2,5$ ; 7 –  $-2$ ; 8 –  $-1,5$ .

извольного угла зондирования прямые при представлении в логарифмическом масштабе преобразуются в изогнутые траектории, примеры которых приведены в [12]. Уже по виду 2D-спектров на рис. 1 можно заключить, что вертикальные спектры для всех моделей должны быть похожи друг на друга, так как максимумы спектров расположены примерно на одном уровне по вертикальной координате, в то время как горизонтальные спектры для

моделей с анизотропией должны отличаться от спектра для изотропной модели. На рис. 2 приведены спектр мерцаний для модели (1), а также вертикальные и горизонтальные спектры для моделей (2) и (3).

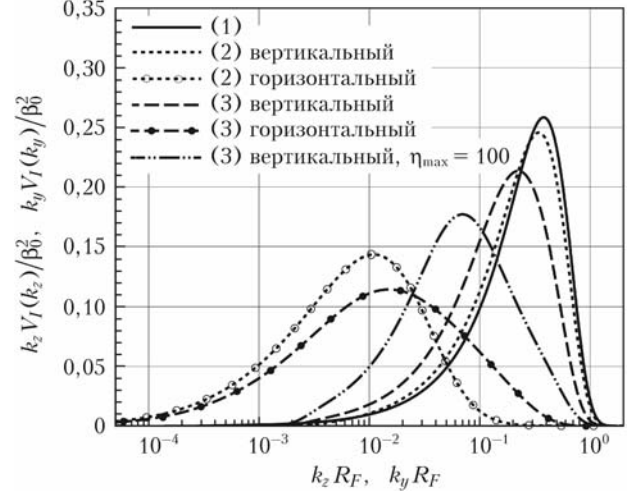


Рис. 2. Спектр модели (1), вертикальные и горизонтальные спектры для моделей (2), (3), вертикальный спектр модели (3) для значения  $\eta_{\max} = 100$ . Произведения спектральной плотности на волновые числа нормированы на дисперсию мерцаний  $\beta_0^2$

Кроме того, для сравнения показан вертикальный спектр для (3) при значении  $\eta_{\max} = 100$  (говорить о горизонтальном спектре для этого случая нельзя без учета сферичности). Произведения спектральной плотности на соответствующие волновые числа также нормированы на дисперсию мерцаний  $\beta_0^2$ . Можно отметить большее сходство вертикального спектра для (2) с изотропным спектром, чем с вертикальным спектром для (3), хотя положение максимумов различается не более чем в 3 раза. Горизонтальные спектры для (2) и (3) отличаются более существенно. Спектр (3) распространяется вправо на больший интервал волновых чисел. Однако можно сделать вывод, что различия одномерных спектров недостаточно велики, чтобы можно было с уверенностью сделать выбор в пользу одной из этих моделей. Спектр для (3) с  $\eta_{\max} = 100$  занимает промежуточное положение между вертикальными и горизонтальными спектрами для (2) и для (3) с  $\eta_{\max} = 10$ .

В [12] было показано, что для анизотропных спектров мерцаний с  $\eta = 10 \div 30$  при увеличении угла  $\alpha$  приближение формы одномерного спектра к форме горизонтального спектра происходит в узком интервале  $\alpha$  вблизи  $90^\circ$ . Рассмотрение этого же приближения демонстрирует различия между моделями (2) и (3). На рис. 3 показано, как трансформируются одномерные спектры при переходе от вертикального зондирования к горизонтальному.

Сравнивая верхнюю панель для (2) с нижней для (3), видим, что для модели (3) спектр быстрее приближается к горизонтальному при увеличении угла наклона  $\alpha$ : если для (2) при  $\alpha = 85^\circ$  спектр еще

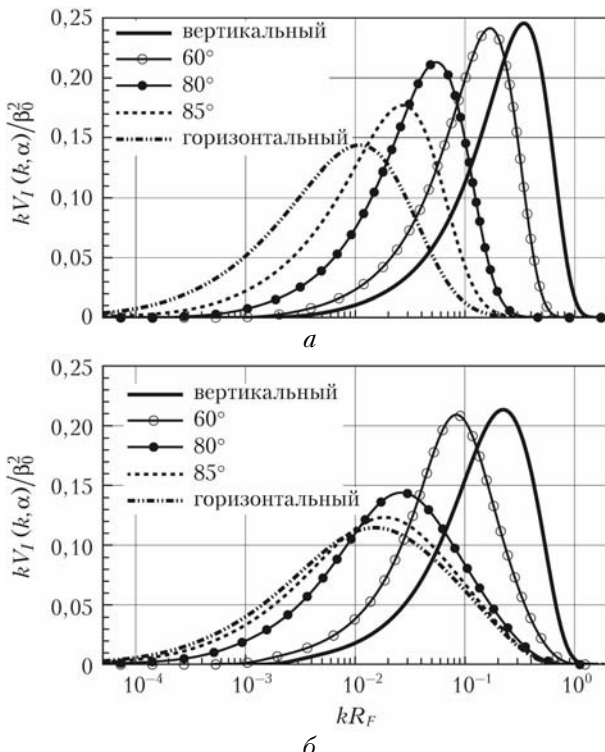


Рис. 3. 1D вертикальные, горизонтальные и наклонные спектры мерцаний: *а* – для модели (2), *б* – для модели (3); произведения спектральной плотности на волновые числа нормированы на дисперсии мерцаний  $\beta_0^2$

существенно отличен от горизонтального, то для (3) это отличие совсем не велико. Тем самым переменность анизотропии приводит к более быстрому переходу наклонного спектра к горизонтальному при увеличении угла зондирования.

## Заключение

Проведены расчеты спектров относительных флуктуаций интенсивности излучения, наблюдаемого сквозь атмосферу, с использованием модели фазового экрана в приближении слабых мерцаний. Рассмотрены три различные модели 3D-спектра формирующих мерцания неоднородностей: изотропные, анизотропные и неоднородности с переменной анизотропией. Вычислены 2D- и 1D-спектры мерцаний. Показано, что, несмотря на существенное различие 2D-спектров, одномерные спектры для разных моделей (особенно вертикальные) могут быть близки друг к другу. Учет переменной анизотропии не меняет радикально характер как двумерного, так и одномерных спектров по сравнению с моделью неоднородностей с постоянной анизотропией. Однако при увеличении угла зондирования 1D-спектр для моде-

ли с переменной анизотропией быстрее приближается по форме к горизонтальному спектру, чем для модели с постоянной анизотропией.

Автор выражает благодарность А.С. Гурвичу за внимание к работе и полезные обсуждения.

1. Wroblewski D.E., Coté O.R., Hacker J.M., Dobosy R.J. Velocity and temperature structure functions in the upper troposphere and lower stratosphere from high-resolution aircraft measurements // *J. Atmos. Sci.* 2010. V. 67, N 4. P. 1157–1170.
2. Гурвич А.С., Кан В. Структура неоднородностей плотности в стратосфере по наблюдениям мерцаний звезд из космоса: I. Модель 3D-спектра и реконструкция ее параметров // Изв. РАН. Физ. атмосф. и океана. 2003. Т. 39, № 3. С. 335–346.
3. Гурвич А.С., Кан В. Структура неоднородностей плотности в стратосфере по наблюдениям мерцаний звезд из космоса: II. Характерные масштабы, структурные характеристики и диссипация кинетической энергии // Изв. РАН. Физ. атмосф. и океана. 2003. Т. 39, № 3. С. 347–358.
4. Татарский В.И. Распространение волн в турбулентной атмосфере. М.: Наука, 1967. 548 с.
5. Гурвич А.С., Воробьев В.В., Федорова О.В. К определению параметров спектра внутренних волн в стратосфере по наблюдениям сильных мерцаний звезд из космоса // Изв. РАН. Физ. атмосф. и океана. 2006. Т. 42, № 4. С. 502–513.
6. Воробьев В.В., Маракасов Д.А., Федорова О.В. Спектры сильных мерцаний, вызываемых крупномасштабными анизотропными стратосферными неоднородностями, при наблюдении звезд с ИСЗ // Оптика атмосф. и океана. 2006. Т. 19, № 12. С. 1004–1012.
7. Гурвич А.С., Воробьев В.В., Маракасов Д.А., Федорова О.В. Спектры сильных мерцаний за фазовым экраном с крупномасштабными анизотропными неоднородностями // Изв. вузов. Радиофиз. 2007. Т. 50, № 9. С. 747–765.
8. Chunchuzov I.P. On the high-wavenumber form of the Eulerian internal wave spectrum in the atmosphere // *J. Atmos. Sci.* 2002. V. 59, N 10. P. 1753–1772.
9. Gurvich A.S., Chunchuzov I.P. Three-dimensional spectrum of temperature fluctuations in stably stratified atmosphere // *Ann. Geophys.* 2008. V. 26, N 7. P. 2037–2042.
10. Гурвич А.С., Чунчузов И.П. Модель трехмерного спектра анизотропных неоднородностей температуры в устойчиво стратифицированной атмосфере // Изв. РАН. Физ. атмосф. и океана. 2008. Т. 44, № 5. С. 611–628.
11. Гурвич А.С., Федорова О.В. Восстановление параметров турбулентности в условиях сильных мерцаний // Оптика атмосф. и океана. 2008. Т. 21, № 2. С. 115–120.
12. Гурвич А.С., Воробьев В.В., Федорова О.В. Спектры сильных мерцаний за атмосферой с крупно- и мелкомасштабными неоднородностями // Оптика атмосф. и океана. 2011. Т. 24, № 3. С. 205–215.
13. Денисов Н.Г. О дифракции волн на хаотическом экране // Изв. вузов. Радиофиз. 1961. Т. 4, № 4. С. 630–638.

### O.V. Fedorova. Scintillation spectra behind inhomogeneities with variable anisotropy.

The numerical examination of spectra of stellar scintillations observed through the Earth's atmosphere from space is carried out. Three models of 3D spectra of inhomogeneities forming scintillations are considered: isotropic, anisotropic, and inhomogeneities with a variable anisotropy. 2D and 1D scintillation spectra were calculated for a phase screen model in the approximation of weak scintillations. It is shown, that 1D spectra for different models can be close to each other. The taking into account of a variable anisotropy does not change considerably the character of spectra in comparison with model of inhomogeneities with constant anisotropy.